

TEMA 10

Instabilidade Baroclínica

10.1. O mecanismo da Instabilidade baroclínica

10.2. O cenário da Instabilidade baroclínica

10.3. Teoria linear de Instabilidade baroclínica

10.4. Condições necessárias para Instabilidade baroclínica

10. Instabilidade Baroclínica

10.1 O mecanismo de instabilidade baroclínica

• No oceano estratificado, o escoamento geostófico baroclínico é acompanhado por superfícies de densidade inclinadas. A razão é simples: geostofia requer gradiente de pressão horizontal, que por causa da hidrostática, só pode existir se houver gradiente horizontal de densidade.

• Em outras palavras, geostofia e hidrostática se combinam para manter o escoamento em equilíbrio: é o princípio do vento térmico.

~~APRESENTAR FIGURA AQUI~~

• Tal equilíbrio, no entanto, não é aquele de mínima energia. A prova disto é que se causarmos uma redução na inclinação das isopícnais por espalhamento (assentamento) do fluido leve sobre o fluido mais pesado, reduzirmos o centro de gravidade do sistema e, consequentemente, sua energia potencial.

POWERPOINT: Modelo do André' - campo de densidade em cor, superposto ao campo de correntes para o sistema CB-CCI

• Automaticamente, reduziremos o gradiente baroclínico de pressão, e por consequência, a intensidade do escoamento geostófico e sua energia cinética.

ESTADO DE MÍNIMA ENERGIA \equiv ISOPÍCNAS PLANAS + ZERO ENERGIA CINÉTICA

- Num escoamento geostrófico baroclínico, o alcance de tal estado de mínima energia não pode ser alcançado de forma direta ou espontânea. A evolução para tal estado requer achatamento e estiramento das colunas de fluido, o que não é possível sem alteração da vorticidade potencial.
- É sabido que o atrito pode alterar a VP. Mas num oceano QG, o atrito é incluído de forma secundária e outro processo, muito mais dramático em natureza física que dissipação é, via de regra, dominante. É a instabilidade baroclínica.
- Desconsiderando o efeito do atrito, estiramento - achatamento das colunas de fluido só é possível caso giração de vorticidade relativa ocorra. Como visto em aulas anteriores, o estiramento tende a criar vorticidade ciclônica, e o achatamento, a vorticidade anticiclônica.
- Num sistema geostrófico baroclínico ligeiramente perturbado, estiramento e achatamento ocorrem simultaneamente em diferentes locais, podendo gerar um padrão de vórtices interagentes. Estas interações podem causar crescimento da perturbação inicial, forçando o sistema a evoluir para um estado diferente do inicial - é o processo de instabilidade.
- Fisicamente, a relaxação ainda que parcial das sup. isopícnicas libera energia potencial. Esta liberação provoca estiramento - achatamento das colunas de fluido. Nova vorticidade relativa é criada bem como energia cinética dessas perturbações.

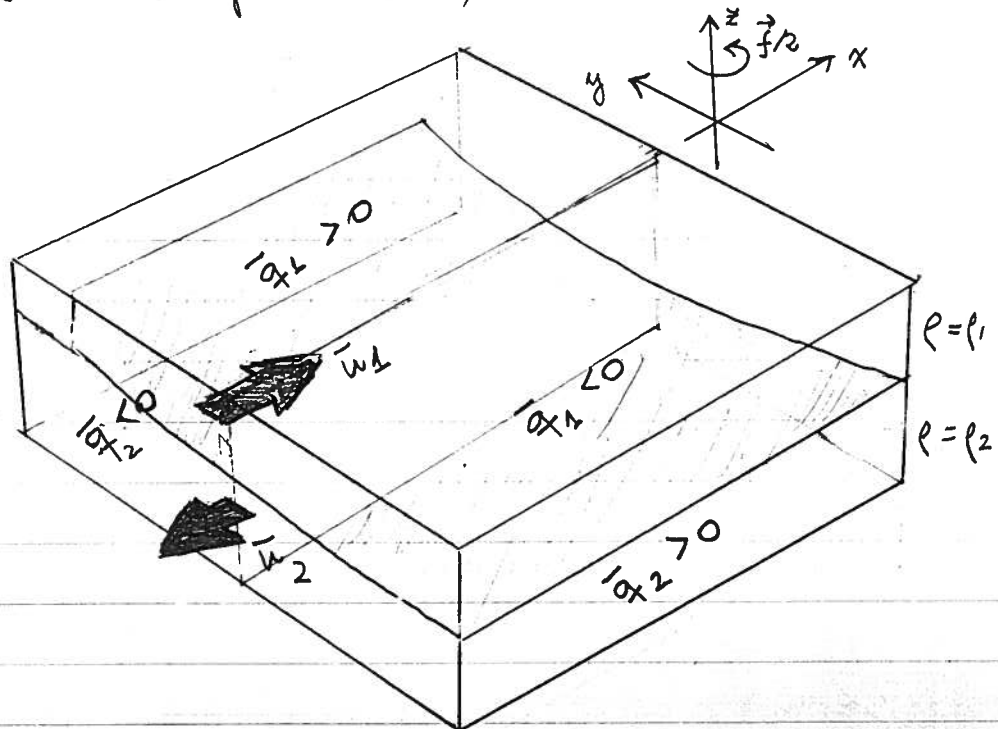
ENERGIA POTENCIAL DO ESCOAMENTO GEOSTR. \rightarrow ENERGIA CINÉTICA DAS PERTURBAÇÕES = CONVERSÃO BAROCLÍNICA

- Se as condições são favoráveis, estes vórtices promoverão nova relaxação das isopícnas que os re-alimentarão com mais geração de vort. relativa e mais energia cinética. Tornam-se-ão mais fortes e crescerão às custas do vento térmico, aumentando o cisalhamento horizontal de velocidades. Por consequência, o efeito aumenta e eventualmente dissipará a energia cinética das perturbações.

10.2. O Cenário da Instabilidade Baroclínica

- Consideremos um cenário bastante simplificado, baseado em um jato baroclínico zonal num oceano de duas camadas no plano fno Hemisfério Norte.

- Na camada superior, o jato é para leste: $\bar{u}_1 > 0$.
- Na camada inferior, o jato é para sul: $\bar{u}_2 < 0$.
- A interface separando os dois jatos é representado a pinoelina se inclina para norte, de acordo com o vento térmico



POWERPOINT

FAZER:

HEYJOW

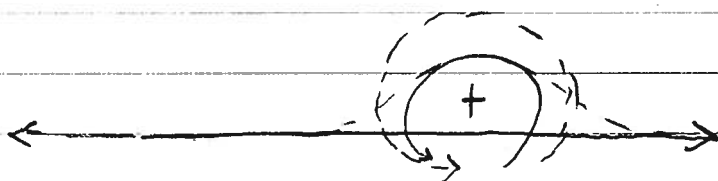
- A vorticidade potencial básica é homogênea a menos de uma descontinuidade no centro do jato.

POWER POINT:

- Transparência com:



perturbação
na camada 1



perturbação
na camada 2

- Aproveitar saída do modelo do Meacham
(vide transp. Proj. INCLINA)

IMPORTANTE: exibir quadratura - situação instável



10.3. Teoria dinâmica de Instabilidade

Escrevamos a eq de conservação de VPQG para um escoamento no plano β :

$$\frac{\partial q}{\partial t} + J(\psi, q) = 0 \quad (1)$$

$$q = \nabla^2 \psi + \beta y + \frac{2}{\partial z} \frac{f_0^2}{N^2} \frac{\partial \psi}{\partial z} \quad (2)$$

A elegância do sistema QG reside no fato de que todas as incógnitas do sistema dinâmico se relacionam com a função de corrente ψ .

$$u = -\frac{\partial \psi}{\partial y}, \quad v = \frac{\partial \psi}{\partial x}$$

$$p' = \rho_0 f_0 \psi \quad \text{via geostrofia}$$

$$p' = -\frac{\rho_0 f_0}{g} \frac{\partial \psi}{\partial z} \quad \text{via hidrostática}$$

$$w = -\frac{f_0}{N^2} \left[\frac{\partial}{\partial t} + J(\psi, \cdot) \right] \frac{\partial \psi}{\partial z} \quad \text{via cons. de densidade}$$

- Reconstruamos novamente os estudos de instabilidade de escoamento paralelos, assumindo um jato básico baroclinico zonal de forma arbitrária:

$$\begin{aligned} u &= \bar{u}(y, z) + u'(x, y, z, t) \\ v &= v'(x, y, z, t) \end{aligned} \quad (3)$$

- Por consequência: $\Psi(x, y, z, t) = \bar{\Psi}(y, z) + \Psi'(x, y, z, t)$ (4)

$$\varepsilon \text{ VP: } \bar{q} = \frac{\partial^2 \bar{\Psi}}{\partial y^2} + \beta y + \frac{\partial}{\partial z} \frac{f_0^2}{N^2} \frac{\partial \bar{\Psi}}{\partial z} \quad (5a)$$

$$q' = \nabla^2 \Psi' + \frac{\partial}{\partial z} \frac{f_0^2}{N^2} \frac{\partial \Psi'}{\partial z} \quad (5b)$$

- A Eq. (1)-(2) com (4)-(5) nos conduz a

$$\frac{\partial q'}{\partial t} + J(\bar{\Psi}, q') + J(\Psi', \bar{q}) = 0 \quad (6)$$

- Assumiremos uma solução do tipo: $\Psi' = \text{Re} \{ \phi(y, z) e^{iK(x-ct)} \}$.
A equação da evolução da amplitude é dada por

$$\frac{\partial^2 \phi}{\partial y^2} + \frac{\partial}{\partial z} \frac{f_0^2}{N^2} \frac{\partial \phi}{\partial z} + \left(\frac{1}{\bar{u}-c} \frac{\partial \bar{q}}{\partial y} - k^2 \right) \phi = 0 \quad (7)$$

- Precisamos de 4 condições de contorno:

→ tampas rígidas na superfície ($z=H$) e no fundo ($z=0$)

$$w = 0 \quad \text{em } z = 0, H$$

$$-\frac{f_0}{N^2} \left[\frac{\partial \psi'}{\partial t} + J(\bar{\psi}, \frac{\partial \psi'}{\partial z}) + J(\psi', \frac{\partial \bar{\psi}}{\partial z}) \right] = 0 \quad (8)$$

Usando a definição de ψ em (8), chegamos a

$$(\bar{u} - c) \frac{\partial \phi}{\partial z} - \frac{\partial \bar{u}}{\partial z} \phi = 0 \quad \text{em } z = 0, H. \quad (9)$$

→ Na direção meridional, confinamos as perturbações num canal de largura L "imaginária", onde $v' = 0$ em seus limites zonais. Isto simplesmente impõe

$$\phi = 0 \quad \text{em } y = 0, L. \quad (10)$$

Multiplicando (7) pelo complexo conjugado ϕ^* , integrando-a entre os limites verticais e horizontais, fazendo uso de (9) e (10), chegamos a

$$\begin{aligned} & \int_0^H \int_0^L \left[\left| \frac{\partial \phi}{\partial y} \right|^2 + \frac{f_0^2}{N^2} \left| \frac{\partial \phi}{\partial z} \right|^2 + k^2 |\phi|^2 \right] dy dz \\ &= \int_0^H \int_0^L \frac{1}{\bar{u} - c} \frac{\partial \bar{\phi}}{\partial y} |\phi|^2 dy dz + \int_0^L \left[\frac{f_0^2}{N^2} \frac{1}{\bar{u} - c} \frac{\partial \bar{u}}{\partial z} |\phi|^2 \right] dy \Big|_0^H \\ & \quad (11) \end{aligned}$$

A parte imaginária da eq. (11) é

$$c_i \left\{ \int_0^H \int_0^L \frac{|\phi|^2}{|\bar{u} - c|^2} \frac{\partial \bar{\phi}}{\partial y} dy dz + \int_0^L \left[\frac{f_0^2}{N^2} \frac{|\phi|^2}{|\bar{u} - c|^2} \frac{\partial \bar{u}}{\partial z} \right] dy \Big|_0^H \right\} = 0 \quad (12)$$

• A condição de instabilidade é que $c_i \neq 0$, logo a quantidade entre chaves tem de ser nula.

• Note que há dependência nos sinais de $\frac{\partial \bar{q}}{\partial y}$ e $\frac{\partial \bar{u}}{\partial z} \Big|_0^H$

$$\frac{\partial \bar{q}}{\partial y} = \beta - \left(\frac{\partial^2 \bar{u}}{\partial y^2} + \frac{\partial}{\partial z} \frac{f_0^2}{N^2} \frac{\partial \bar{u}}{\partial z} \right) \quad (13)$$

• As condições necessárias para instabilidade são:

i) $\partial \bar{q} / \partial y$ mude de sinal dentro do domínio;

ii) o sinal de $\partial \bar{q} / \partial y$ é oposto ao de $\partial \bar{u} / \partial z$ no topo (em $z = H$); e

iii) o sinal de $\partial \bar{q} / \partial y$ é o mesmo de $\partial \bar{u} / \partial z$ no fundo (em $z = 0$).

IMPORTANTE: se (i) é satisfeita, (ii) e (iii) automaticamente também o são.

IMPORTANTE 2: note que o efeito β é de fato estabilizador, pois torna $\partial \bar{q} / \partial y$ mais positivo.

Estudos de casos [Gill et al. (1974)]

Consideremos : $\bar{u} = \bar{u}(z) = U_0 e^{\frac{(z-H)}{d}}$; $\frac{N^2}{f^2} = 10^4 e^{\frac{(z-H)}{d}}$

caso (I) : $U_0 > 0$, $\frac{\partial \bar{u}}{\partial z} = \frac{U_0}{d} e^{\frac{(z-H)}{d}} > 0$

- podem ocorrer instabilidades fracas ($\frac{\partial \bar{u}}{\partial z}$ é pequeno)
- condição (3) é atendida

caso II : $U_0 < 0$, $\frac{\partial \bar{u}}{\partial z} < 0$

- podem ocorrer instabilidades mais vigorosas
- condição (2) é atendida

POWER POINT : Fazer plots de \bar{u} , N^2 , $\frac{\partial \bar{u}}{\partial z}$, $\frac{\partial \bar{q}}{\partial y}$ para os dois casos

- use modelo Gill
- explicitar valores de U_0 , H e d .

10.4. Equações da Energia

• A fim de obter uma melhor ideia acerca das fontes de instabilidade, é muito útil que utilizemos a equação da energia das perturbações para ondas na presença do mesmo fluxo zonal médio $\bar{u}(y, z)$ - sujeito a cisalhamentos horizontal e vertical [vide eq. (3)].

• O ponto de partida é novamente a forma linearizada da VPRG (6)

$$\left[\frac{\partial}{\partial t} + \bar{u} \frac{\partial}{\partial x} \right] \left[\nabla^2 \psi' + \frac{\partial}{\partial z} \frac{f_0^2}{N^2} \frac{\partial \psi'}{\partial z} \right] + \frac{\partial \psi'}{\partial x} \left(\frac{\partial \bar{q}}{\partial y} \right) = 0 \quad (14)$$

$$\text{onde } \frac{\partial \bar{q}}{\partial y} = \beta - \frac{\partial^2 \bar{u}}{\partial y^2} - \frac{\partial}{\partial z} \frac{f_0^2}{N^2} \frac{\partial \bar{u}}{\partial z} \quad (15)$$

que pode ser escrita como

$$= \beta - \frac{\partial^2 \bar{u}}{\partial y^2} - f_0^2 \frac{\partial}{\partial z} \left[\frac{\partial \bar{u} / \partial z}{g \beta \partial \rho / \partial z} \right] \quad \text{via vento térmico} = \frac{g f_0' \bar{\rho}' \partial \bar{\rho} / \partial y}{g \bar{\rho}' \partial \bar{\rho} / \partial z}$$

$$\frac{\partial \bar{q}}{\partial y} = \beta - \frac{\partial^2 \bar{u}}{\partial z^2} - f_0 \left\{ \frac{\partial \bar{z}}{\partial y} \right\}_\rho \quad (16)$$

onde a interpretação do último termo é a posição de uma dada isopical no estado básico.

• Para de (14) chegarmos à equação de E' é necessário que multipliquemos (14) por ψ' e manipulemos as derivadas de forma a escrever a nova equação em termos de balanço de energia.

• Omitimos aqui a parada algébrica envolvida e apresentamos o resultado para a eq. de E' obtida por Pedlosky (2003).

• O resultado é:

$$\begin{aligned} & \text{(i)} \quad \frac{\partial E'}{\partial t} + \nabla \cdot \vec{S} + \frac{\partial}{\partial z} \left\{ \psi' \frac{f_0^2}{N^2} \left[\frac{\partial}{\partial t} \left(\frac{\partial \psi'}{\partial z} \right) + \bar{u} \frac{\partial}{\partial x} \left(\frac{\partial \psi'}{\partial z} \right) \right] \right\} \\ & \text{(ii)} \quad = + \frac{\partial \psi'}{\partial x} \frac{\partial \psi'}{\partial y} \frac{\partial \bar{u}}{\partial y} + \frac{\partial \psi'}{\partial x} \frac{\partial \psi'}{\partial z} \frac{f_0^2}{N^2} \frac{\partial \bar{u}}{\partial z} \quad \text{(iii)} \quad \text{(iv)} \quad \text{(v)} \end{aligned} \quad (17)$$

$$\text{onde } E' = \underbrace{\frac{(\nabla \psi')^2}{2}}_{\text{energia cinética}} + \underbrace{\frac{f_0^2 \left(\frac{\partial \psi'}{\partial z} \right)^2}{2N^2}}_{\text{energia potencial}} \quad \text{(18)} \quad \text{é a energia mecânica das perturbações}$$

$$\begin{aligned} \rightarrow \frac{f_0^2}{2N^2} \left(\frac{\partial \psi'}{\partial z} \right)^2 &= \frac{f_0^2}{2N^2} \left[\frac{\partial}{\partial z} \left(\rho_0^{-1} f_0^{-1} \frac{\partial p'}{\partial z} \right) \right]^2 = \frac{f_0^2}{2N^2} \left[\frac{g^2}{f_0^2 \rho^2} \rho'^2 \right]^2 \\ &= \frac{g^2}{2N^2} (\rho'/\rho)^2 \rightarrow \text{energia potencial das ondas} \end{aligned}$$

• O termo \vec{S} representa o fluxo horizontal da energia das perturbações dado por

$$\begin{aligned} \vec{S} &= -\psi' \left[\left(\frac{\partial}{\partial t} + \bar{u} \frac{\partial}{\partial x} \right) \nabla \psi' \right] + \hat{i} \left[-\frac{\partial \bar{q}}{\partial y} \frac{\psi'}{2} + \bar{u} E' + \psi' (\nabla \psi' \cdot \nabla \bar{u}) \right] \\ &+ \psi' \bar{u} \frac{\partial \nabla \psi'}{\partial x} \quad \text{(19)} \end{aligned}$$

• Voltamos à eq. (17), e enumeramos o significado físico dos termos que a compõem:

(i) - variação local de E'

(ii) - divergência horizontal do fluxo de energia das ondas \vec{S}

(iii) - divergência vertical

• Se repetirmos e integramos entre $y=0$ e $y=L$ e $z=0$ e $z=H$, como feito para a eq. (11) e considerarmos novamente uma solução periódica em x para ψ' , os termos da divergência de fluxo não contribuem para o resultado integrado no balanço de energia.

• Tal "não contribui" é consequência da definição de fluxo de energia: o vetor fluxo simplesmente move energia de um local para o outro sem criar ou destruir energia.

• Atenção deve ser dada aos termos (iv) e (v). Estes não se anulam por serem integrais de volume.

$$\int_0^H \int_0^L (iv) \rightarrow \int_0^H \int_0^L \frac{\partial \psi'}{\partial x} \frac{\partial \psi'}{\partial y} \frac{\partial \bar{u}}{\partial y} dy dz = - \int_0^H \int_0^L u'v' \frac{\partial \bar{u}}{\partial y} dy dz$$

e representa a integral do produto das Tensões de Reynolds horizontais pelo cisalhamento horizontal da corrente básica.

- Se a perturbação carregar valores altos de momento zonal para região de baixo momento, tenderá a suavizar o cisalhamento lateral.

• Como exemplo, se $\partial \bar{u} / \partial y > 0$ e $u' > 0$, $v' < 0$, as perturbações advirão de uma região alto momento zonal comparado a seu destino, o termo (iv) será positivo e se traduzirá

$$\int_0^H \int_0^L \frac{\partial E'}{\partial t} dy dz > 0.$$

• Como consequência, a energia das perturbações crescerá às custas do decaimento de energia do escoamento básico \bar{E} . Isto se traduz juntamente no decaimento do cisalhamento horizontal.

• Esta transferência de energia que requer apenas movimentos horizontais é comum em escoamentos cisalhados de fluidos homogêneos e é comumente referida como conversão barotrópica.

(iv) \rightarrow termo de conversão barotrópica

\rightarrow precisa ser > 0

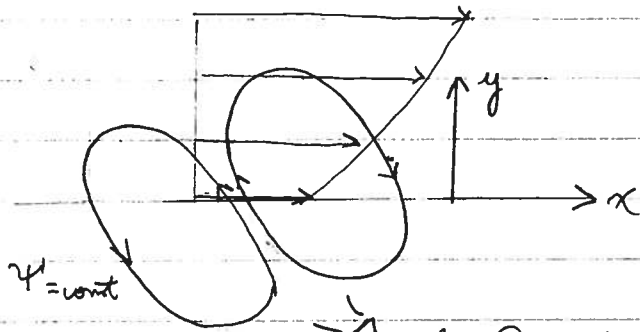
\rightarrow a taxa / intensidade da conversão é dependente de $\frac{\partial \bar{u}}{\partial z}$

• Podemos avançar na interpretação de (iv)

$$\Rightarrow \frac{\partial \psi'}{\partial x} \frac{\partial \psi'}{\partial y} \frac{\partial \bar{u}}{\partial y} = \left(\frac{\partial \psi'}{\partial x} / \frac{\partial \psi'}{\partial y} \right) \left(\frac{\partial \psi'}{\partial y} \right)^2 \frac{\partial \bar{u}}{\partial y}$$

$$= - \left(\frac{\partial y}{\partial x} \right)_{\psi'} \left(\frac{\partial \psi'}{\partial y} \right)^2 \frac{\partial \bar{u}}{\partial y}$$

→ linhas de ψ' const. precisam então para noroeste p/ sudeste em regiões que $\partial \bar{u} / \partial y > 0$ se instabilidade barotrópica fomenta a energia da perturbação.



• inclinação de ψ' para o qual as tensões de Reynolds extraem energia da cisalhamento horizontal da cor. básica \bar{u}

↓
inclinação contrária \Rightarrow conversão barotrópica

→ a situação aqui libera energia das perturbações para a corrente básica

• Analisemos agora o (v), onde há dependência do cisalhamento vertical das correntes \bar{u} , por consequência, no gradiente lateral de densidade:

$$\int_0^H \int_0^L (v) \rightarrow \int_0^H \int_0^L \frac{f_0^2}{N^2} \frac{\partial \psi'}{\partial x} \frac{\partial \psi'}{\partial z} \frac{\partial \bar{u}}{\partial z} dy dz = \int \int -(\bar{v}' \bar{\rho}' g) \left(\frac{g \partial \bar{\rho} / \partial y}{\rho_0^2 N^2} \right)$$

$$= \int \int -(\bar{v}' g) \left| \frac{\partial z}{\partial y} \right|_{\bar{\rho}} dy dz$$

• A transformação da energia baroclínica é proporcional ao transporte na direção y, isto é, na direção do gradiente de densidade da perturbação e densidade

- Por exemplo, se $\partial \bar{p} / \partial y > 0$, $\partial \bar{u} / \partial z > 0$ no HN, e, em média, parcelas de fluido se movendo para regiões de y positivos carregam anomalias negativas de p' . O produto $-v p' > 0$ é a energia das ondas cíclicas.

→ O campo de ondas produz um fluxo de densidade para regiões de alta p/baixa densidade básica, tendendo a suavizar o gradiente de densidade, que por consequência, irá aplainar a inclinação das superfícies isopícnas básicas e liberar energia potencial para perturbações.

- Podemos avançar na interpretação de (v) :

$$\rightarrow \frac{\partial \psi'}{\partial x} \frac{\partial \psi'}{\partial z} \frac{\partial \bar{u}}{\partial z} = - \left(\frac{\partial z}{\partial x} \right)_{\psi'} \left(\frac{\partial \psi'}{\partial z} \right) \frac{\partial \bar{u}}{\partial z} > 0$$

para haver conversão baroclínica. Ou seja, em regiões de $\frac{\partial \bar{u}}{\partial z} > 0$, linhas de $\psi' = \text{const}$ precisam se inclinar para cima e para oeste para que o termo (v) seja positivo.

→ A sensibilidade dos processos de conversão de energia à estrutura espacial de ψ' é a manifestação do delicado e complexo processo de instabilidade na qual as perturbações estão lentamente organizadas para permitir a liberação da energia cinética disponível e potencial disponível do fluxo básico.

PROVA DIDÁTICA : Instabilidade Baroclínica

~~Instabilidade Estável~~

• Em aulas anteriores, mostramos que a presença de um gradiente de vorticidade potencial \rightarrow ondas de frequência subinercial comumente chamadas de Ondas de Vorticidade ou Ondas de Rossby.

• A presença do gradiente de vorticidade planetária, β , permite a existência de ondas de Rossby planetárias. O mesmo acontece com a presença do relevo submarino \rightarrow ondas de Rossby Topográficas.

• Ao estudarmos, o modelo QG para estudar a relação de dispersão num oceano estratificado, derivamos que

$$\underbrace{g}_{\text{vort. relativa}} = \underbrace{\nabla^2 \psi}_{\text{variação de vort. planetária}} + \underbrace{\frac{\partial}{\partial z} \frac{f_0^2}{N^2} \frac{\partial \psi}{\partial z}}_{\text{vorticidade de estiramento}} \quad (1)$$

DEFINIR

ψ
 N^2
 β

ESCREVER

LOUSA

• Ao inspecionarmos, a expressão acima verificamos que a presença de uma corrente oceânica pode prejudicar a existência deste gradiente, seja pela presença de cisalhamento horizontal seja pelo cisalhamento vertical.

SLIDE 4 - Campos de CB-CCI do Filipe

\rightarrow MOSTRAR CISALHAMENTO HORIZONTAL NAS CORRENTES (VR)

\rightarrow " DISTRIBUIÇÃO DAS ISOPICNAIS (VE)

Definindo Instabilidade

• Observamos que ondas superpostas ao escoamento básico crescem espontaneamente em amplitude, drenando energia das correntes básicas e eventualmente dominando o escoamento.

• Chamamos de instabilidade gravítica aos processos de crescimento exponencial das ondas de vorticidade às custas da energia do escoamento geostrófico. → ESCREVER LOUSA

SLIDE 2 - Imagens AVHRR - mostram o crescimento REAL

SLIDE 3 - Simulação do Leandro NUMÉRICO

→ Instabilidade de cisalhamento horizontal → Instabilidade Barotrópica

→ " " vertical → " Baroclínica
↳ ESCREVER LOUSA

⇒ mencionar o envolvimento de energia cinética e potencial

o Mecanismo da Instabilidade Baroclínica

- Voltamos a usar o exemplo da seção de velocidade do Sistema Costeiro do Brasil

SLIDE 1 - Campos dos CB - CCI do Filipe

- No cenário de um oceano estratificado:

correntes geostóficas \rightarrow grad. horizontal pressão \rightarrow grad. hor. de densidade
(cisalhamento vertical)

VENTO TÉRMICO

- \rightarrow situação de equilíbrio que NÃO é a de energia potencial mínima
- \rightarrow se causar redução na inclinação das isopícnas por achatamento de fluido + leve sob fluido + pesado, reduzirmos o vento de grav. do sistema e, por conseguinte, seu estado de energia potencial

Estado de mínima = isopícnas planas + zero energia cinética
energia

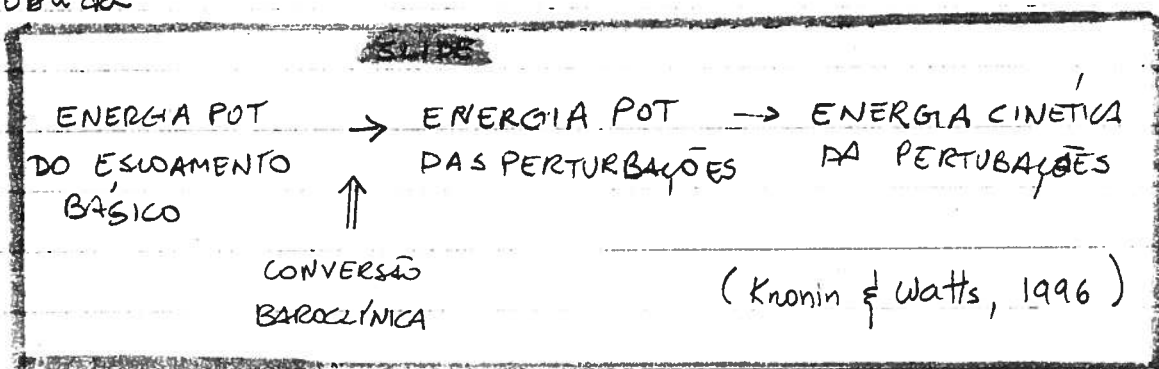
- \rightarrow o alcance de tal estado não pode ser alcançado de forma direta. Requer achatamento e estiramento da coluna de água.

- Se o efeito não é relevante no interior geostófico, estiramento - achatamento da coluna de fluido geram vort. ciclônica e anticiclônica

- Pacotes de vórtices obtidos a partir de uma pequena perturbação inicial

podem causar crescimento destes, fazendo que o sistema evolua para um estado bastante diferente do inicial

- A Relaxação pontual das sup. Isopieciais libera energia potencial, que gera adicionais achatamentos - estufamentos na coluna de fundo. Nova vorticidade relativa, e portanto, energia cinética das perturbações é obtida



- O esquema acima é do que é conhecido como Diagrama de Energia de Lorenz.

- Vamos considerar um jato baroclínico zonal no HN. A razão para tanto é ter um grad básico de VP planetário na mesma direção daquele devido à VR e VĒ

- O exemplo mais emblemático é a extensão da corrente do Golfo.

SLIDE: Corrente do Golfo

- Examinaremos agora como efetivamente como esse fenômeno ocorre. Usaremos um exemplo muito utilizado de um modelo duas camadas.

SLIDES: Modelo de Dinâmica de Contorno

• Agora vejamos o que acontece quando perturbamos o sistema...

• Ao deslocarmos o jato para norte, comprimimos a coluna de água na camada superior, que responde desenvolvendo vort. anticiclônica. Mas, como a interface não é rígida, ocorre um relaxamento parcial, a interface afunda e gera vorticidade relativa anticiclônica na camada inferior.

• Agora desloquemos a fonte do jato na camada inferior para o norte. A coluna sofrerá estiramento parcial e desenvolverá vorticidade ciclônica. Como a interface não é rígida, o estiramento será parcial, a interface afunda e induzirá alguma vorticidade ciclônica na camada superior.

• Se o escoamento é perturbado nas duas camadas ao mesmo tempo, haverá um vórtice anticiclônico na camada 1 e um vórtice ciclônico na camada 2.

• Em regiões de gradientes de VP, movimentos periódicos geram sucessões de crestas e cavos em ambas as camadas. São ondas de vorticidade, são ondas de Rossby.

• A propagação dessas ondas e a advecção destas perturbações pelos jatos básicos podem levar a uma situação de quadratura entre as duas camadas, estabelecendo uma interação tanto favorável (modo instável) quanto desfavorável (modo evanescente).

• No caso do modo instável, as perturbações se amplificam e o sistema evolui se distanciando da situação de equilíbrio original (i.e., do vento térmico)

• O cenário exibido no caso simplificado de um modelo de duas camadas ressalta o ponto de uma específica distribuição de fase e ressalta a importância do papel da geração de vorticidade no desenvolvimento da instabilidade.

→ o comprimento da onda não pode nem ser tão longo nem tão curto. Tem de ser tal que achatamento/esticamento sejam efetivos.

Para tanto, consideremos a forma for VPQG no plano f

$$q = \nabla^2 \psi + \frac{\partial}{\partial z} \frac{f^2}{N^2} \frac{\partial^2}{\partial z} \psi$$

Idealmente, $\frac{\nabla^2 \psi}{\frac{\partial}{\partial z} \frac{f^2}{N^2} \frac{\partial^2}{\partial z} \psi} = \frac{\bar{\psi} L^{-2}}{\bar{\psi} \underbrace{\frac{f^2}{N^2 H^2}}_{R_{di}^{-2}}} = \frac{R_{di}^2}{L^2} \sim O(1)$

nº de
Burger

R_{di}^{-2} raio de deformação interno

• Se $L \ll R_{di}$, a vorticidade relativa domina, as duas camadas se tornam desacopladas e há energia potencial insuficiente p/ gerar instabilidade

• Se $L \gg R_{di}$, a vorticidade relativa não consegue responder ao esticamento e as perturbações em cada camada tendem a permanecer em fase, sem propiciar crescimento.

⇒ O efeito β é estabilizador.

Teoria linear de Instabilidade Baroclínica

equação de Boussinesq no plano β

→ instabilidade de cisalhamento vertical

$$\frac{\partial q}{\partial t} + J(\psi, q) = 0 \quad (2)$$

$$q = \nabla^2 \psi + \beta y + \frac{\partial}{\partial z} \frac{f_0^2}{N^2} \frac{\partial \psi}{\partial z} \quad (1)$$

- Reconstruamos novamente ao estudo de um jato básico baroclínico normal na forma de

$$u = \bar{u}(y, z) + u'(x, y, z, t) \quad (3)$$

$$v = v'(x, y, z, t)$$

- Função de corrente: $\psi = \bar{\psi}(y, z) + \psi'(x, y, z, t) \quad (4)$

$$\text{VP: } \bar{q} = \frac{\partial^2 \bar{\psi}}{\partial y^2} + \beta y + \frac{\partial}{\partial z} \frac{f_0^2}{N^2} \frac{\partial \bar{\psi}}{\partial z} \quad (5)$$

$$q' = \nabla^2 \psi' + \frac{\partial}{\partial z} \frac{f_0^2}{N^2} \frac{\partial \psi'}{\partial z} \quad (6)$$

- Linearizando a eq. (2), chegamos a

$$\frac{\partial q'}{\partial t} + J(\bar{\psi}, q') + J(\psi', \bar{q}) = 0 \quad (7)$$

SLIDE DO MODELO DO CANAL

- Consideremos uma solução do tipo $\psi' = \text{Re} \{ \phi(y, z) e^{ik(x-ct)} \} \quad (8)$

- Com (8) em (7):

$$\left[\frac{\partial^2 \phi}{\partial y^2} + \frac{\partial}{\partial z} \frac{f_0^2}{N^2} \frac{\partial \phi}{\partial z} + \left(\frac{1}{\bar{u} - c} \frac{\partial \bar{q}}{\partial y} - k^2 \right) \phi \right] = 0 \quad (9)$$

Precisamos de 4 condições de contorno :

$$\rightarrow w = 0 \quad \text{em} \quad z = 0, H \quad (\text{tampa rígida})$$

$$(z=0 \text{ no fundo})$$

$$\rightarrow \phi = 0 \quad \text{em} \quad y = 0, L \quad (\text{canal zonal})$$

- A expressão para w é obtida via conservação de tensão τ e hidrostática :

$$\frac{\partial p'}{\partial t} - \frac{\rho_0}{g} N^2 w = 0 ; \quad p' = -\frac{\rho_0}{g} f_0 \frac{\partial \psi}{\partial z}$$

$$w = -\frac{f_0}{N^2} \left[\frac{\partial}{\partial t} + J(\psi, \cdot) \right] \frac{\partial \psi}{\partial z} = 0 \quad \text{em} \quad z = 0, H$$

linearizando :

$$\rightarrow \frac{\partial}{\partial t} \frac{\partial \psi'}{\partial z} + J(\bar{\psi}, \frac{\partial \psi'}{\partial z}) + J(\psi', \frac{\partial \bar{\psi}}{\partial z}) = 0 \quad \text{em} \quad z = 0, H$$

usando (8)

$$(\bar{u} - c) \frac{\partial \phi}{\partial z} - \left(\frac{\partial \bar{u}}{\partial z} \right) \phi = 0 \quad \text{em} \quad z = 0, H \quad (10)$$

$$\phi = 0 \quad \text{em} \quad y = 0, L \quad (11)$$

- O sistema de equações (9)-(10)-(11) formam um problema de autovalor em c e onde ϕ são as autofunções, geralmente complexas :

$$c = c_r + i c_i \quad \text{CONJUGADO: } c^* = c_r - i c_i$$

ϕ

$$\text{Logo, } c \rightarrow \psi \propto e^{K c_i t} e^{i K (x - c_r t)} \quad \text{MODO INSTÁVEL}$$

$$c \rightarrow \psi \propto e^{-K c_i t} e^{i K (x - c_r t)} \quad \text{MODO EVANESCENTE}$$

- O sistema (9)-(10)-(11) não admite soluções para um $\bar{u}(y, z)$ genérico, logo precisamos desenvolver teoremas integrais para estabelecer as condições necessárias p/ instabilidade baroclínica.

• Para tanto, multipliquemos (21) por ϕ^* , integremos-a entre os limites vertical e meridional. Após o uso das condições de contorno, obtemos

$$\int_0^H \int_0^L \left[\left| \frac{\partial \phi}{\partial y} \right|^2 + \frac{f_0^2}{N^2} \left| \frac{\partial \phi}{\partial z} \right|^2 + K^2 |\phi|^2 \right] dy dz$$

$$= \int_0^H \int_0^L \frac{1}{\bar{u}-c} \frac{\partial \bar{q}}{\partial y} |\phi|^2 dy dz + \int_0^L \left[\frac{f_0^2}{N^2} \frac{1}{\bar{u}-c} \frac{\partial \bar{u}}{\partial z} |\phi|^2 \right]_0^H dy$$

cujas partes imaginárias é:

$$c_i \left\{ \int_0^H \int_0^L \frac{|\phi|^2}{|\bar{u}-c|^2} \frac{\partial \bar{q}}{\partial y} dy dz + \int_0^L \left[\frac{f_0^2}{N^2} \frac{|\phi|^2}{|\bar{u}-c|^2} \frac{\partial \bar{u}}{\partial z} \right]_0^H dy \right\} = 0$$

Condições necessárias:

(12)

i) $\partial \bar{q} / \partial y$ troque sinal dentro do domínio

ii) o sinal $\frac{\partial \bar{q}}{\partial y}$ seja o oposto de $\frac{\partial \bar{u}}{\partial z}$ em $z = H$ (superfície)

ii) o sinal $\frac{\partial \bar{q}}{\partial y}$ seja o mesmo de $\frac{\partial \bar{u}}{\partial z}$ em $z = 0$ (fundo)

$$\frac{\partial \bar{q}}{\partial y} = \beta - \frac{\partial}{\partial z} \frac{f_0^2}{N^2} \frac{\partial \bar{u}}{\partial z} \quad (13)$$

→ Fica evidente o efeito estabilizador do grad. de vert. planetária (no sentido que $\frac{\partial \bar{q}}{\partial y}$ se tornar mais positivo.

→ mencionar regiões tropicais x regiões de latitudes médias